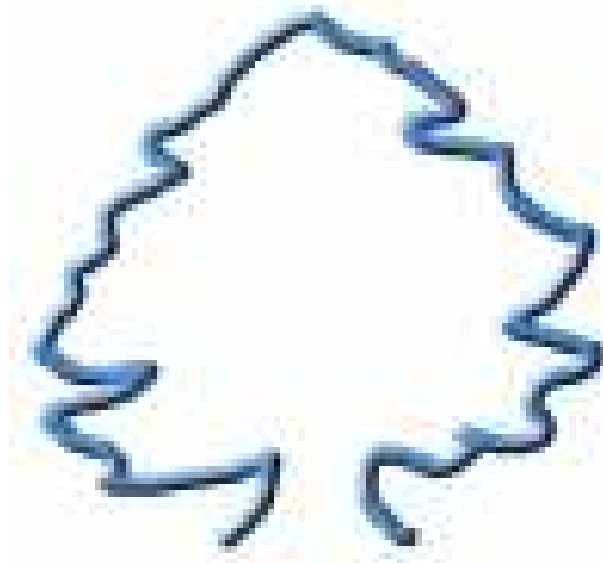


MÉTHODES DE VOLUMES FINIS POUR L'AÉROTHERMOCHIMIE

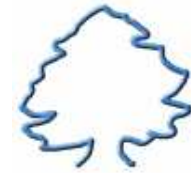
B. Courbet

Office National d'Etudes et de Recherches Aérospatiales (ONERA)



Méthodes numériques pour les fluides

MoMas, 19 décembre 2005, Paris



Plan

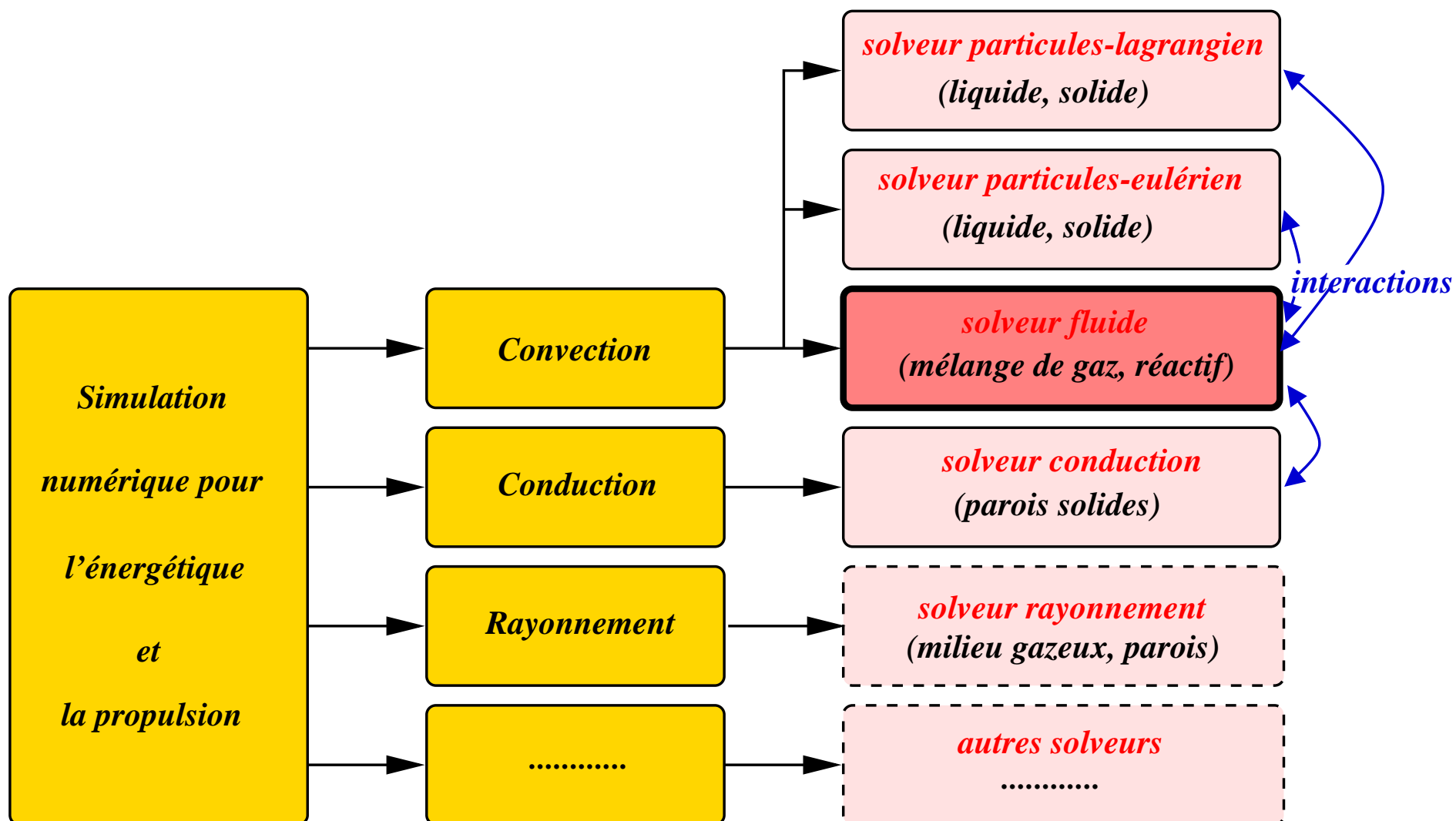
1. Contexte logiciel : le code CEDRE
2. Modèles physiques pour le gaz
3. Modèle géométrique : le maillage polyédrique général
4. Discrétisation spatiale
5. Intégration temporelle
6. Besoins pour l'avenir

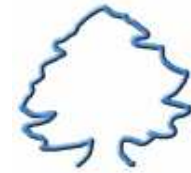
Quelques exemples de simulations numériques



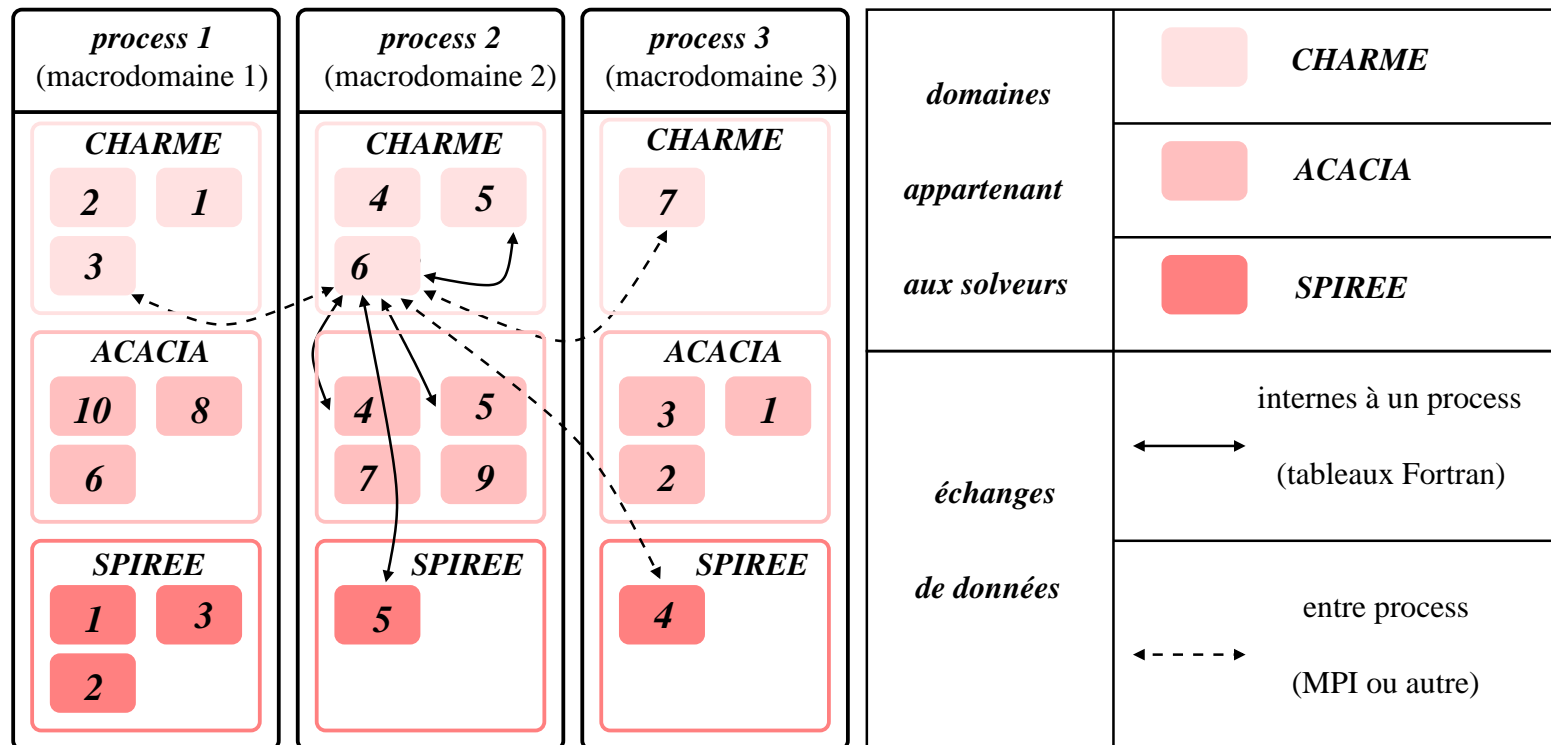


1. Contexte logiciel : énergétique numérique (industrie et recherche)

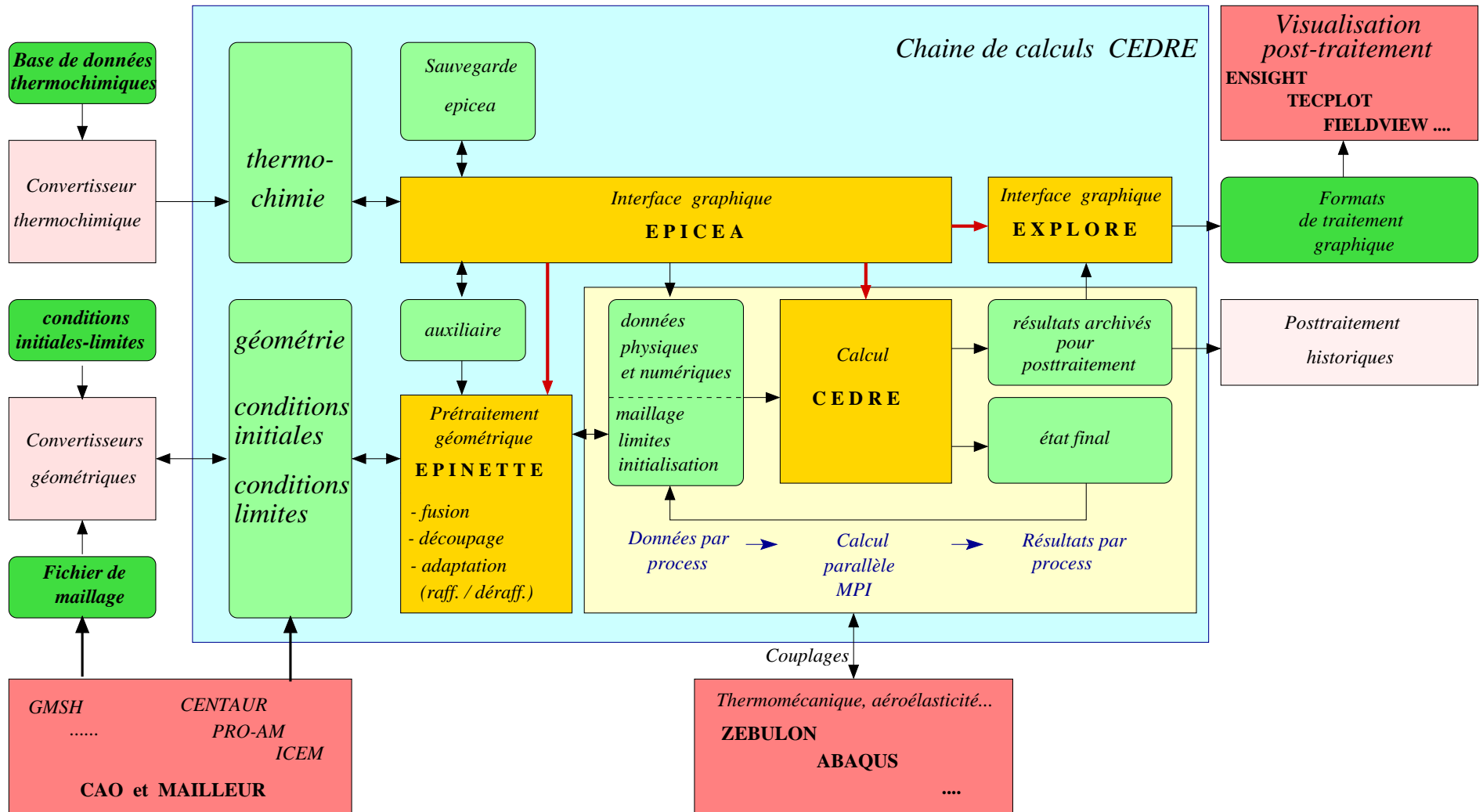
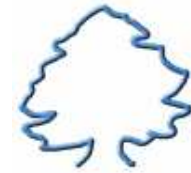


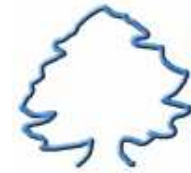


1. Contexte logiciel : décomposition en domaines et calcul parallèle



idom = 1, 2, ... = numéro absolu de domaine pour chaque solveur





2. Conditions physiques pour les applications visées

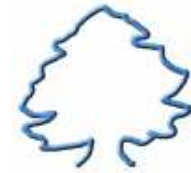
- Importance des **transferts d'énergie**
- **Stationnaire** ou **instationnaire** (turbulent LES, acoustique...)
- **Géométries complexes** $L_{max}/L_{min} \gg 1...$
- **Anisotropie** (couches limites ou de mélange, jets...)
- $0 \leq M < \infty$: du quasi-incompressible à l'hypersonique
- $0 \leq Re < \infty$: parfois laminaire/transitionnel, généralement turbulent
- Multiespèces, **réactions chimiques**
- **Sources** nombreuses et souvent fortes :
interactions avec les autres milieux, gravité, rotation
- Nombreux **modèles spécifiques**
- **Conditions aux limites variées** souvent hétérogènes-instationnaires



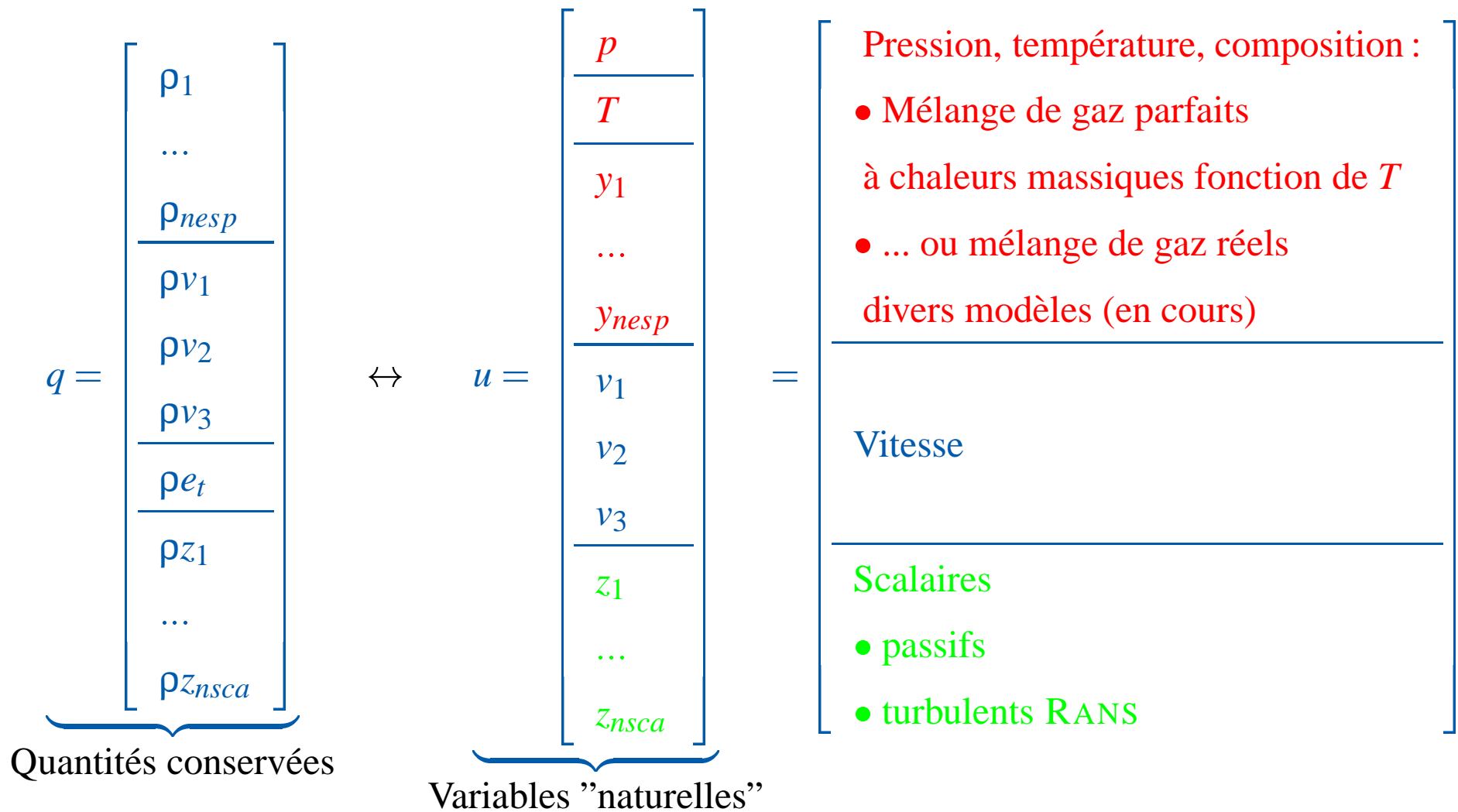


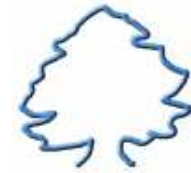
2. Modèles physiques actuels pour le milieu fluide

- **Mélange de gaz parfaits** (C_{pj} , μ_j ... fonction de T)
- **Turbulence, approche RANS** :
2 équations ($k - \varepsilon$, $k - l$), 4 équations $k - \varepsilon - k_\theta - \varepsilon_\theta$
Corrections à bas Reynolds, fonctions de paroi, option ASM
- **Turbulence, approche LES** : MILES, Smagorinsky
- **Sources** : forces de volume (gravité, inertie), sources utilisateur, interactions entre sous-systèmes
réactions chimiques (Arrhenius, EBU, CLE, CRAMER, EDCWC)
- **Limites** : (uniformes/hétérogènes, stationnaires/instationnaires)
 - entrées-sorties avec options diverses (swirl, équilibre radial...)
 - symétrie, axe, glissement
 - multidomaine, périodicité spatiale ordinaire et généralisée
 - parois (diverses conditions thermiques)

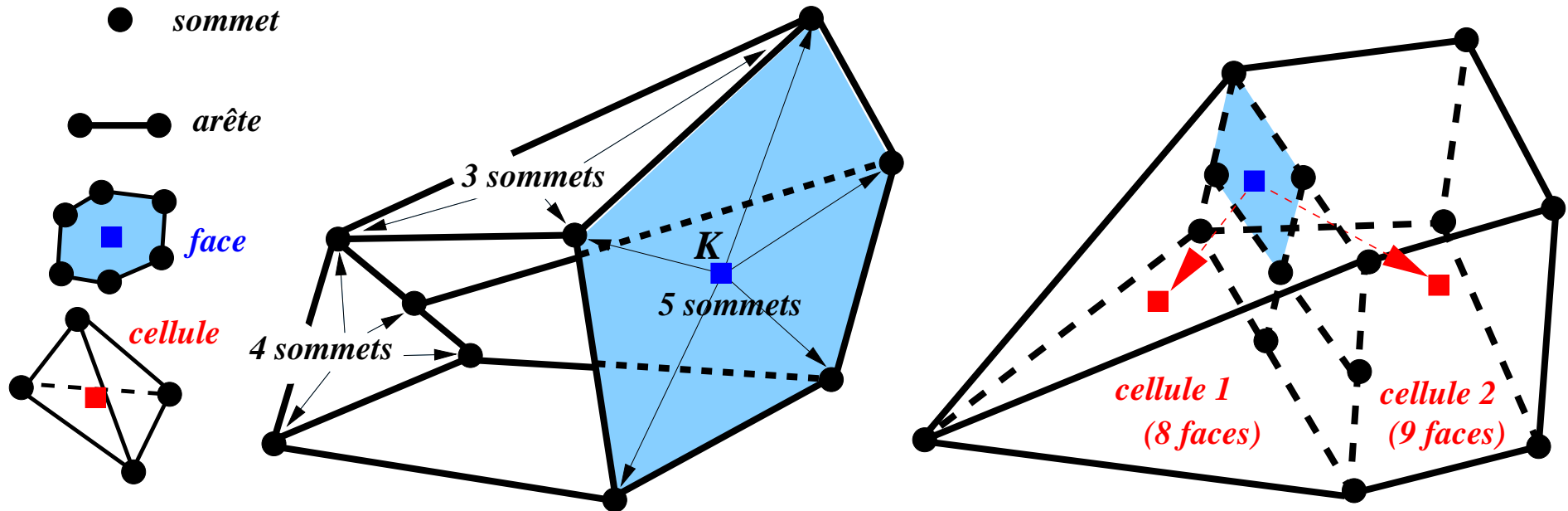


2. Modèles physiques pour le milieu fluide





3. Modèle géométrique : le maillage polyédrique général

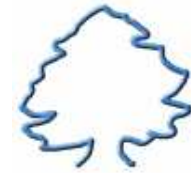


- chaque face a un nombre quelconque de sommets

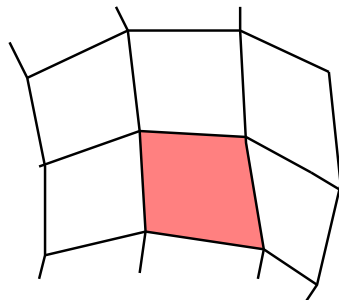
- une cellule polyédrique générale a

un nombre quelconque de faces, mais

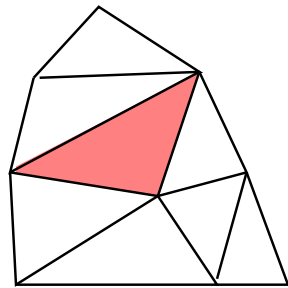
... une interface relie toujours 2 cellules exactement



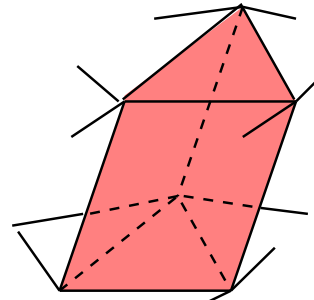
3. Modèle géométrique : exemples de maillages



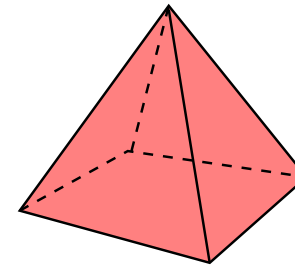
a) quadrangles (2D)
hexaèdres (3D)



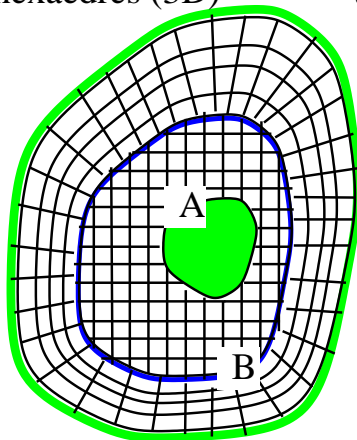
b) triangles (2D)
tetraèdres (3D)



c) prismes à base
triangulaire

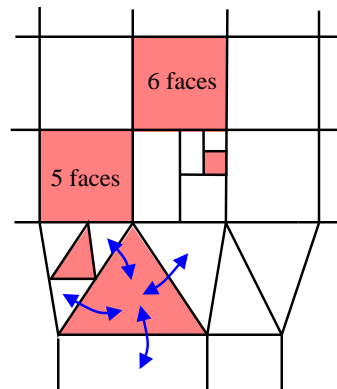


d) pyramides

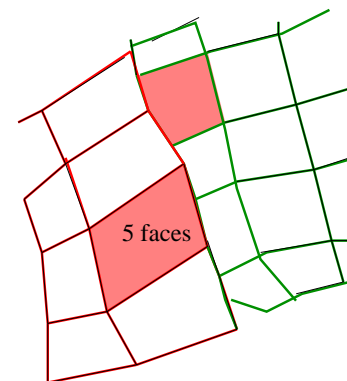


e-A) maillages cartésiens
adaptés aux frontières

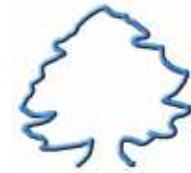
e-B) intersections de maillages



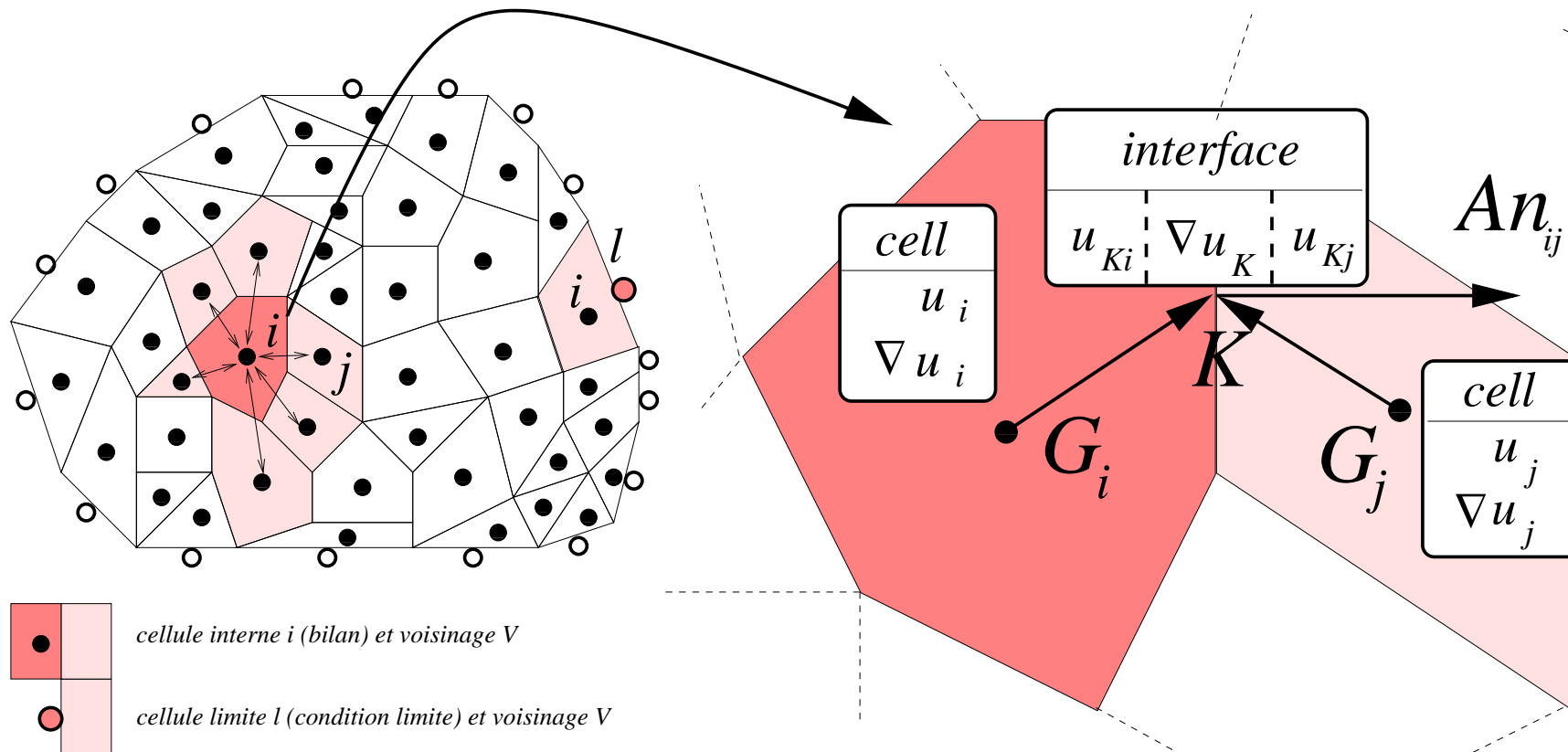
f) adaptation
de maillage

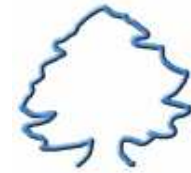


g) maillages conformes généraux
pour multidomaine

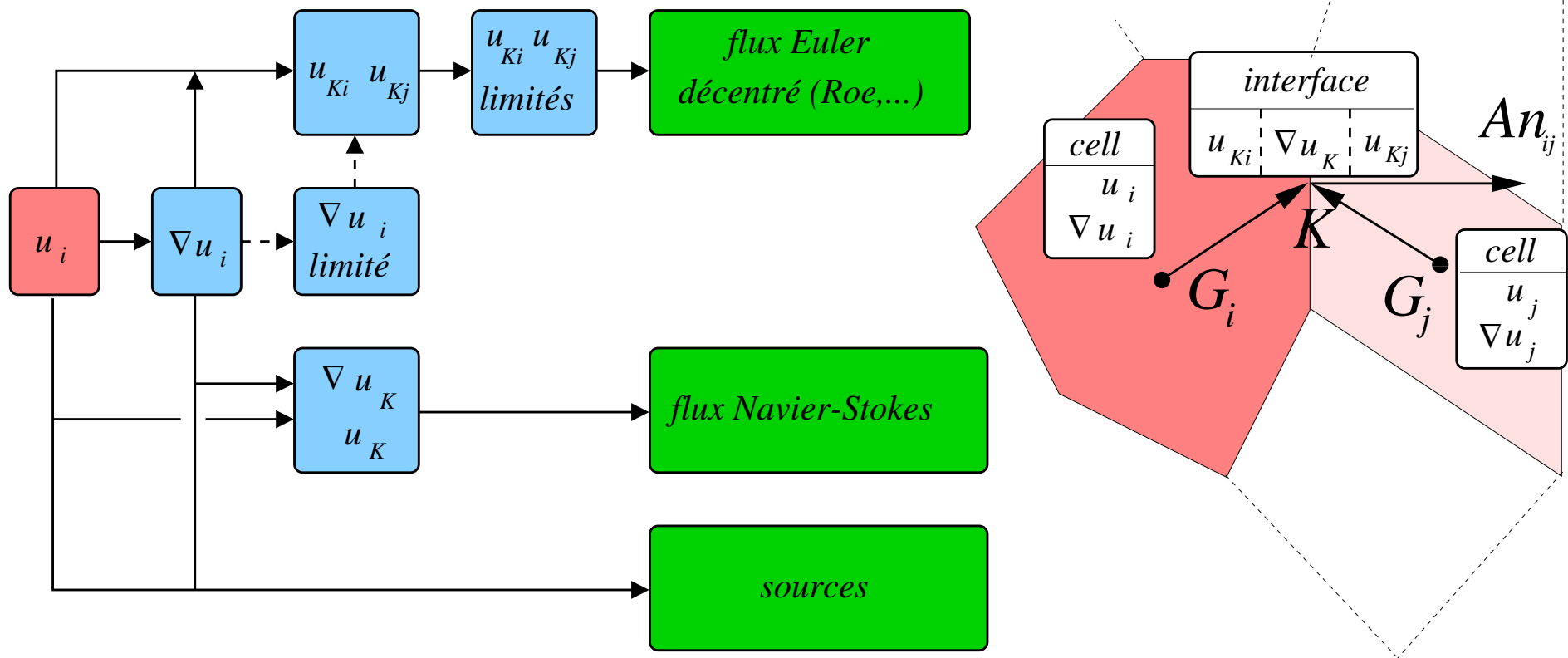


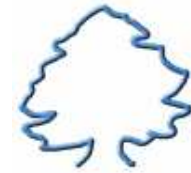
4. Discrétisation spatiale ; approche MUSCL généralisée



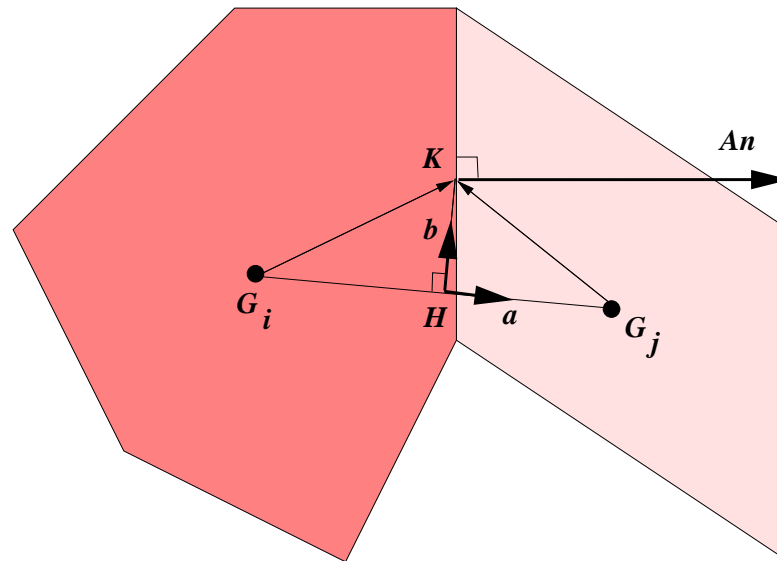


4. Discrétisation spatiale ; approche MUSCL généralisée

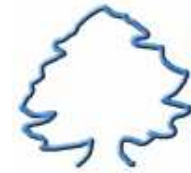




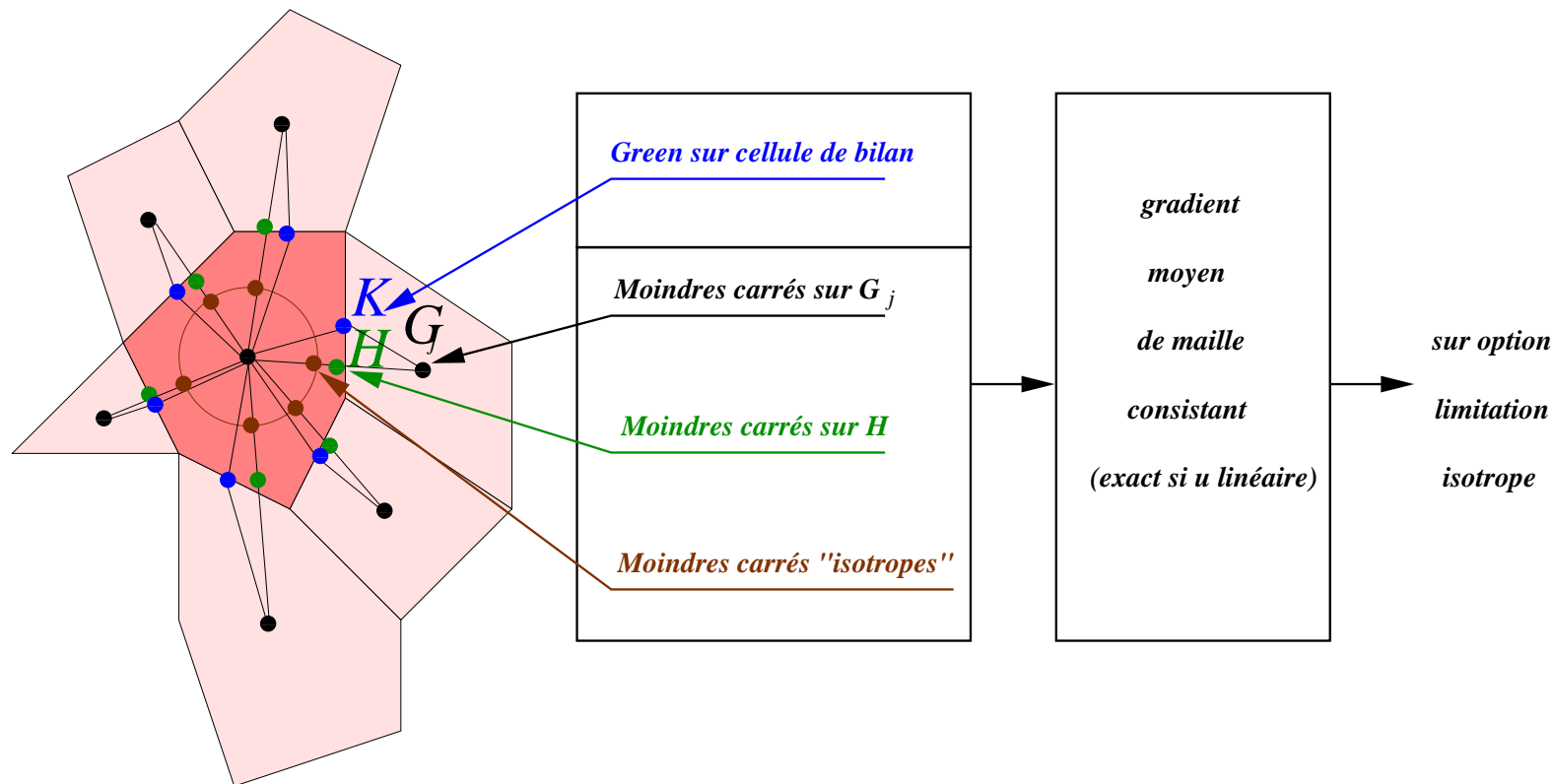
4. Discrétisation spatiale ; géométrie du système face-cellules



- Centre de maille $G_i = \frac{1}{V_i} \int_{V_i} r dA$
 - Centre de face $K = \frac{1}{A} \int_A r dA$
- Difficultés :
- non-orthogonalité $a \cdot n \neq 1$
 - courbure $HK \neq 0$
 - hétérogénéité $\frac{G_i K}{G_j K} \neq 1$
 - face non plane



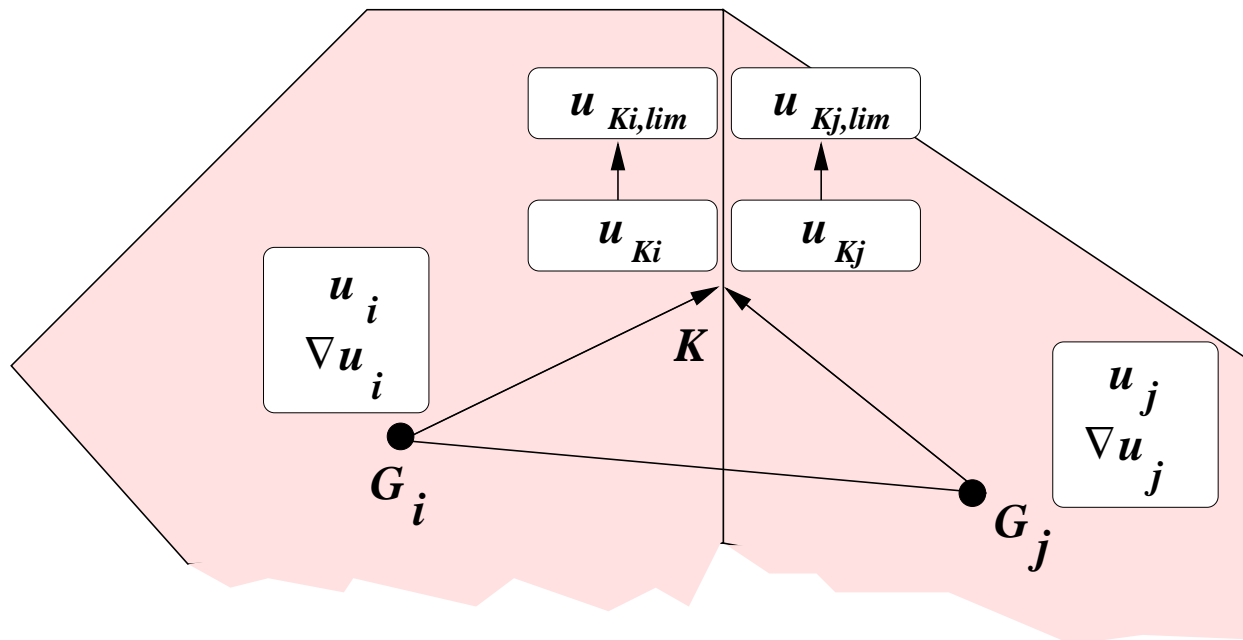
4. Discrétisation spatiale : gradients moyens de mailles



$$M_i \nabla u_i = L_V(u_i, u_j, \dots) \left\{ \begin{array}{l} \bullet \text{ Green : } M_i = V_i I + \text{courbure} + \dots \text{ Non symétrique} \\ \bullet \text{ Moindres carrés : } M_i \text{ symétrique} \end{array} \right.$$



4. Discrétisation spatiale : valeurs d'interface à gauche et à droite

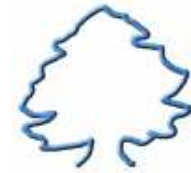


- Interpolation linéaire par cellule

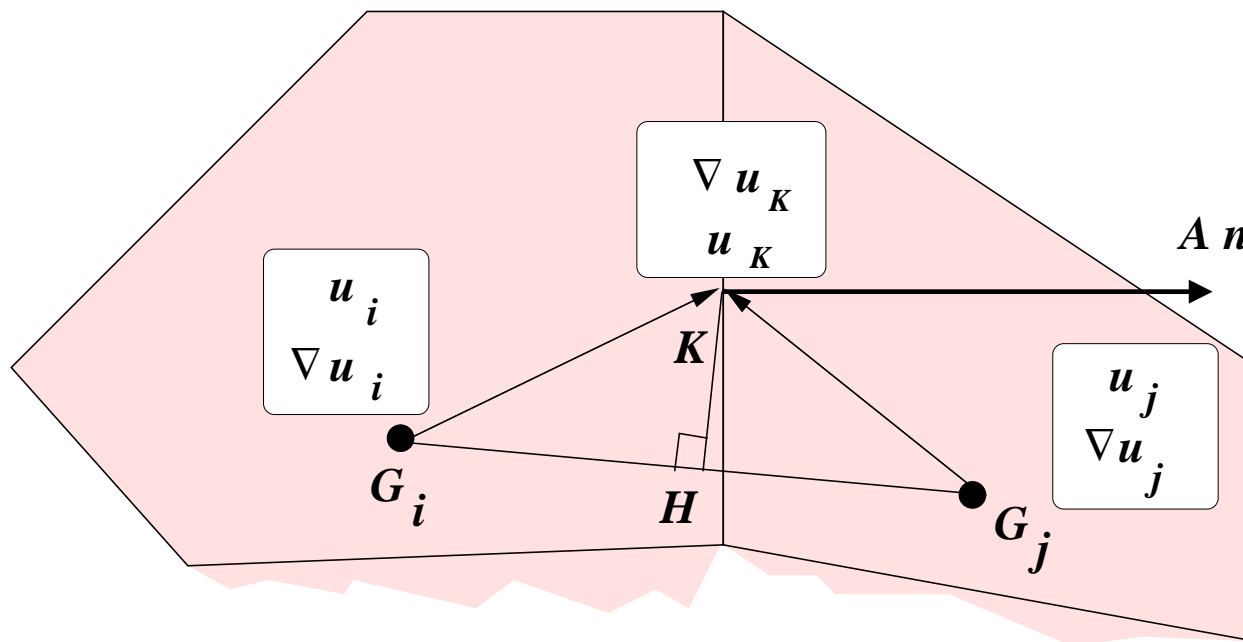
$$u_{K_i} = u_i + \nabla u_i \cdot G_i K \quad \text{et} \quad u_{K_j} = u_j + \nabla u_j \cdot G_j K$$

- Limitations (Van Leer, ATV...)

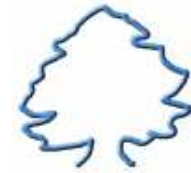
$$u_{K_i,lim} = u_{K_i,lim}(u_{K_i}, u_{K_j}, u_i, u_j) \quad \text{et} \quad u_{K_j,lim} = u_{K_j,lim}(u_{K_i}, u_{K_j}, u_i, u_j)$$



4. Discrétisation spatiale : gradients d'interfaces



$$\nabla u_H = \frac{HG_j}{G_i G_j} \nabla u_i + \frac{HG_i}{G_i G_j} \nabla u_j \rightarrow \nabla u_K = \nabla u_H + \theta \left[\frac{u_j - u_i}{G_i G_j \cdot n} - \nabla u_H \cdot n \right] n$$



4. Discrétisation spatiale, bilans pour les cellules internes

Quantités conservées $q = q(u) \leftrightarrow$ variables naturelles $u = u(q)$

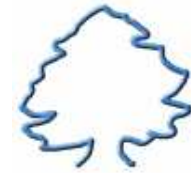
$$\overline{V_i \dot{q}_i} = - \sum_{j \in V} \underbrace{A_{ij} f_{n,i \rightarrow j}}_{Euler} - \sum_{j \in V} \underbrace{A_{ij} \varphi_{n,i \rightarrow j}}_{Navier-Stokes} + \underbrace{V_i \sigma_i}_{sources}$$

– Flux Euler décentré

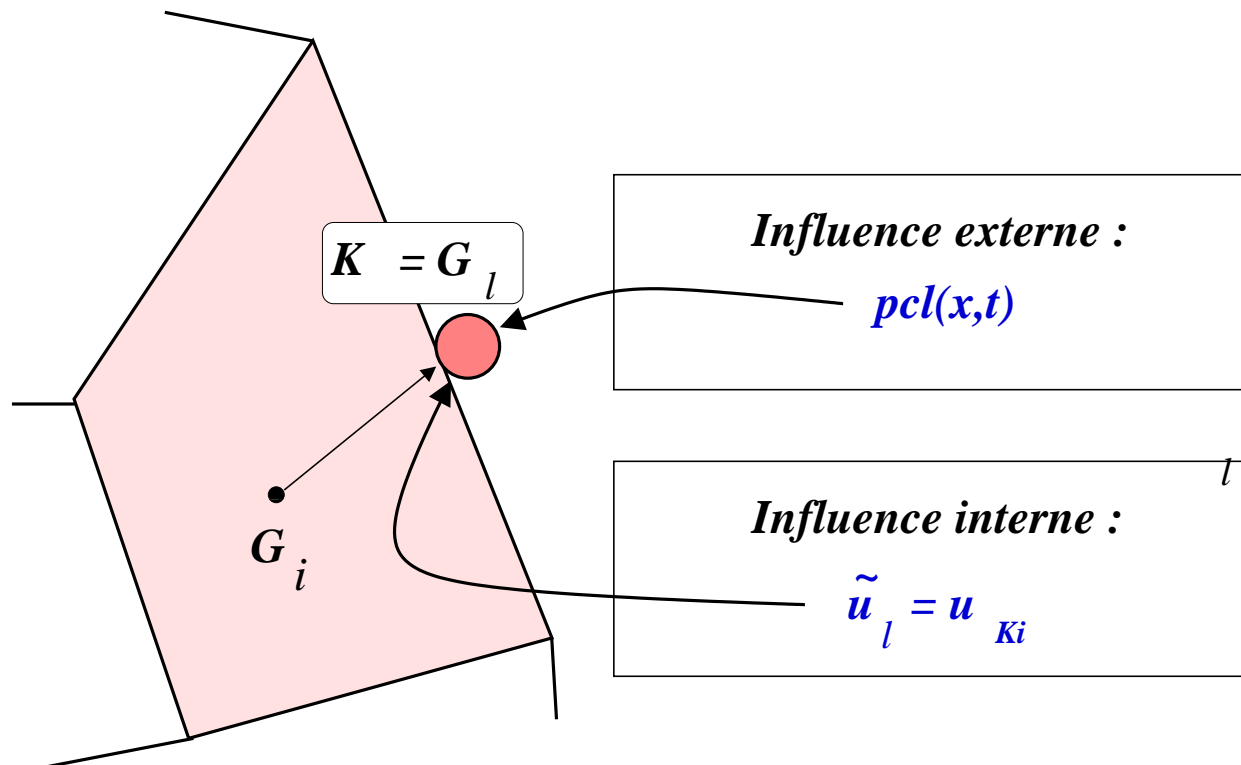
$$f_{n,i \rightarrow j} = f_n(u_{K_i,lim}, u_{K_j,lim}) \left\{ \begin{array}{l} \text{Roe et famille ODF...} \\ \text{Bas Mach type Turkel} \\ \text{AUSM...} \end{array} \right.$$

– Flux Navier-stokes $\varphi_{n,i \rightarrow j} = \varphi_n(u_K, \nabla u_K)$

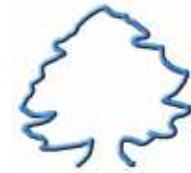
– Sources $\sigma_i = \sigma_i(u_i, \nabla u_i)$



4. Discrétisation spatiale, conditions aux limites



- Conditions aux limites : $T_{\alpha,l} \dot{q}_l = L_{\alpha}(u_l, \tilde{u}_l, pcl(x_l, t), \dots)$
- Eventuellement, flux numérique particulier (paroi, ...)



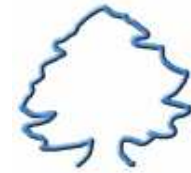
4. Intégration temporelle, notations

Système global d'ODE sur l'ensemble des variables internes et limites :

$$Q = \begin{bmatrix} q_1 \\ \dots \\ q_i \\ \dots \\ \dots \\ q_l \\ \dots \end{bmatrix} \leftrightarrow U = \begin{bmatrix} u_1 \\ \dots \\ u_i \\ \dots \\ \dots \\ u_l \\ \dots \end{bmatrix} \rightarrow \underbrace{M\dot{Q} = F(U, PCL(t))}_{\text{Bilans + CL}}$$

Sur option, la matrice de masse M inclut une procédure d'inflation analogue à un pas de temps local :

- sur CFL
- adaptatif (capteurs sur \dot{U}) \rightarrow robustesse au démarrage



4. Intégration temporelle, méthodes

- **Explicite** : Runge-Kutta (2 approximations ...)
 - **Implicite** :
 - Euler implicite (pour solutions stationnaires asymptotiques)
 - "Runge-Kutta" (pour instationnaire : bas Mach,...)
- Itérations GMRES** à chaque étape implicite du schéma temporel
(typiquement $numax \sim 10 - 20$)

```
do n = 1, nmax
```

```
...
```

```
do nu = 1, numax
```

```
...
```

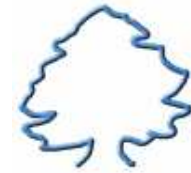
```
end do
```

```
...
```

```
end do
```

itérations "internes"

progression en temps



5. Conclusion : quelques besoins identifiés

- **Interpolation** : des schémas plus robustes et plus précis
 - Meilleure évaluation des gradients (cadre MUSCL ou GD)
 - Prise en compte des gradients le long des faces dans le calcul des flux numériques
 - Montée en ordre effective sur un maillage général?
- **Flux numériques** : des schémas plus universels :
 - Bas Mach (erreurs numériques de type acoustique)
 - Hypersonique (carbuncle sur chocs forts)
 - Fluides réels?